

III-36 回転式掘削刃に関する研究

正員 京都大学工学部

畠 昭治郎

同 同

○内藤 隆

学生員 同

未井 忠雄

平行移動平刃による土の切削については、すでに一応の解説をしたが、これをさらに発展させて回転刃による諸種掘削機構に亘りて、機械の合理的な設計指針を得んとするものである。本研究においては切削刃が回転円周上にあり、円周上で切削を行なうながら前進を行なう機構について実験を行なった。実験用回転刃としては図1に示すよろず刃を用いて、これを直徑40cmの円板上にとりつけ、刃先の直徑が50cmに至るよろずとした。この刃のすくい角は、30°、40°、50°と変えてとりつけよろずとができ、刃数も2、3、4、6、8、12と変えられよろずによつては。実験用台車は図2のとおりで、円板の回転軸を支える腕はラツツ・ビニオニにより上下できて、切削の深さを変えよろずとができる。台車は長さ3600、幅900、高さ600mmの土槽の両側にレールをしき、この上で掘進を行なうよろずになつては。回転円板の駆動は200V、3相0.75kW、1700r.p.mのモーターで行は、ベルトを通して2段に減速し、さらにこれを変速機に入れて回転数を110r.p.mから250r.p.mまで変化できるよろずとした。台車とモーターの間の動力の伝達はフレキシブルシャフトを用いた。この台車を200V、3相、3kW、1200r.p.mのモーターと、減速機、ウォームギヤーによる減速装置を用いたライナチで引っぱるよろずとした。

実験に用いた試料は砂、およびやシルト分の多砂質土であり、前者は切削強度指數 e_s をできだす一定に保ち平均 $2.82 \times 10^3 \text{ kg/cm}^2$ とし、刃数、すくい角、切削深さなどを変え、後者では e_s のみ変化させ、他の条件は一定とした。ここで e_s とは幅5cmの鋼板を図3のように地表面に垂直におし込み、上端を地表面に平行に引張り、土を振り返すときの力 P を求め次式により計算するものである。

$$e_s = \frac{P}{Bt^3} \quad (\text{kg/cm}^2) \quad B\text{は刃幅}$$

切削時のトルクは、切削用モーターに流れ電流の空転時の値 I_0 と

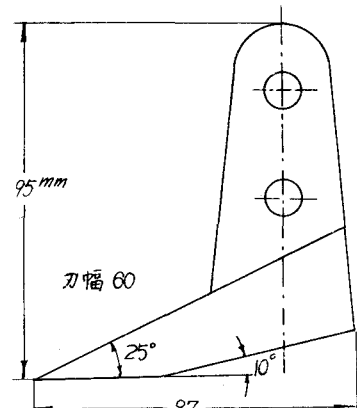


図1 刃先

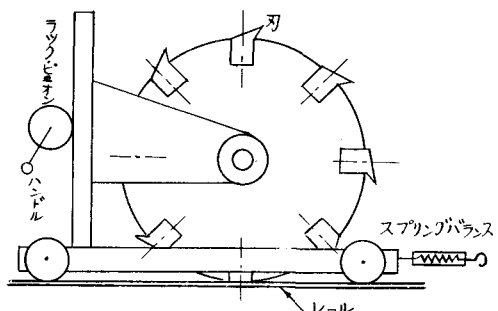


図2 台車

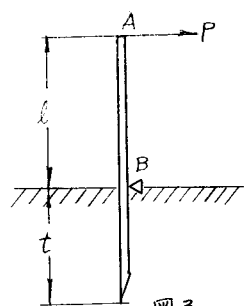


図3

切削時の値 I' の差を求め、別に制動試験によりトルクと $I' - I$ の関係を求め、これより切削時トルクを測定した。水平抵抗はスプリングバランス、回転数はハスラーの回転計により測定した。

切削トルク $T(\text{kg.cm})$ と振進速度 $v(\text{cm/sec})$ の関係は図4に示したよろにほぼ比例関係にあるた。これら2つの直線の勾配 K を、回転数 $n(\text{rpm})$ について整理すると図5のよろに似り、この直線の勾配をさうに求めると図6のよろになつてなる。これらをまとめると、すくい角 30° 、深さ 1.5 cm における c_s が $2.8 \times 10^2 \text{ kg/cm}^2$ である。

$$T = K \cdot v \cdot n \cdot t \quad t: \text{切削深さ(cm)}$$

図3の関係が得られた。平刃を用いたとき、すくい角の刃によろ切削抵抗は 10^m (m : ラジアン, m は砂質土で 0.45) となり、平確かではあるがこの場合も同様な結果が得られ、さらに K と c_s の間に図7のよろな直線関係があるから、以上をまとめ、この実験においては

$$T = K_2 v \cdot n \cdot t \cdot c_s \cdot 10^{-md}$$

となつた。刃数の変化については一部の場合を除き T は大幅に変化しなかつた。水平抵抗はフレキシブルシャフトの曲げの影響であまりほつきりした関係は少くなかつた。

なお二つの研究には科学研修費(各個研究)をいたした事を記し感謝の意を表す。

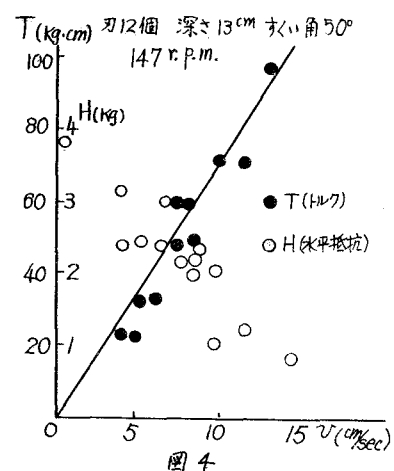


図4

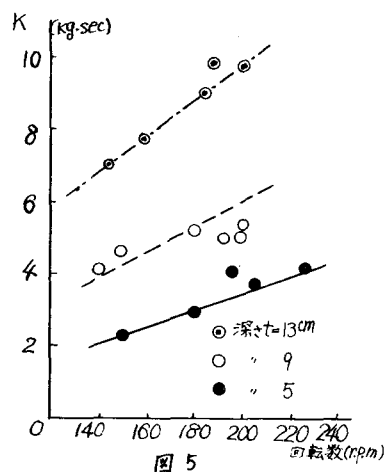


図5

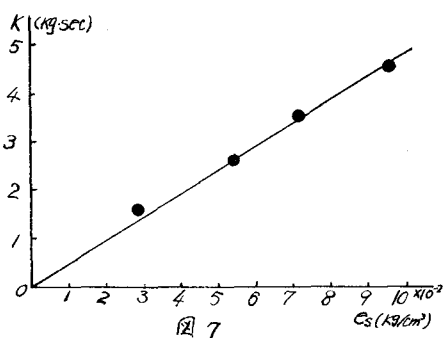


図7

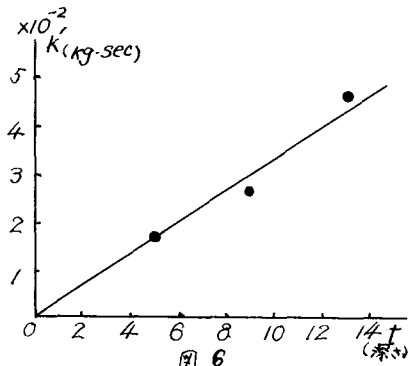


図6